

茨城県立工業専門学校 ○正員 森田 興司

同 上

宮川 司

同 上

小沢 郁喜男

1. まえがき

応力拡大係数(K_{IC} , $\text{kgf/cm}^{1.5}$)によるコンクリートの破壊じん性評価の基礎的資料を得るために、セメントペーストおよびモルタルについて、配合や切り欠き深さによる影響および切り欠き先端の塑性域寸法などに関する実験研究を報告してきた^{1,2)}。それによると、 K_{IC} 値は配合や切り欠き深さによる影響を受けやすく、切り欠き深さ比(a/W , a :切り欠き深さ, W :供試体幅)で 0.15 付近以上の大きさの切り欠きから、比較的安定した K_{IC} 値が得られることなどがわかった。また、切り欠き深さによる影響は、等価弹性を表長で与える塑性域補正寸法などを考慮することにより、その影響を減ずることが可能であることがわかった。

本報告はこれらをふまえて、 K_{IC} 値に影響をあたすとされる幅厚(供試体幅)による影響を明らかにするために、モルタル供試体にかけ導かれた結果をまとめたものである。

2. 供試体および実験方法

セメントは普通ポルトランドセメント、粗骨材は川砂(粒度 2.50)を用い、骨材配合比は $1:2:0.65$ (プロ-セス 260mm)とした。供試体は、高さ(W)を一定(10cm)とし、幅(B)を $10, 7.5, 5, 2.5\text{ cm}$ の4種類とし、切り欠きは $1, 5\text{ cm}$ の2種類と、硬質ビニール製切板(厚さ 0.5 mm)を用いて導入した。供試体は28日間標準養生のうえ、三分点載荷法により曲げ載荷を行なった。

3. 実験結果および考察

(1) 曲げ引張応力と供試体幅との関係

切り欠き部を考慮した曲げ引張応力(σ_b)と供試体幅との関係を図-1～3に示す。切り欠きのない場合は、図-1に示すように供試体幅の増加とともに曲げ引張応力を増加する傾向を示す。また、切り欠きを有する場合は、図-2, 3に示すように供試体幅の減少とともに曲げ引張応力が増加する傾向がみられ、供試体幅の小さくなるほど切り欠きによる影響が大きいようになる。

(2) 応力拡大係数と供試体幅との関係

応力拡大係数と供試体幅との関係を図-4, 5に示す。切り欠き深さ比(a/W) = $0.1, 0.5$ とともにほぼ同様の傾向を示すが、因から明らかなように供試体幅の大きさが比較的安定した K_{IC} 値を示すことがわかる。また、一般に金属材料においては、 K_{IC} 値は板厚(供試体幅)の低下とともに増加することが知られるが、本実験においても供試体幅の減少とともに K_{IC} 値が増加する傾向を示す。また、空隙率 γ が 0.5 の方が $\gamma = 0.1$ より、約 $20\sim30\%$ 程度大きな値を示す。

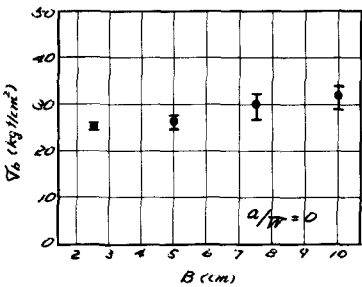


図-1 aとBとの関係

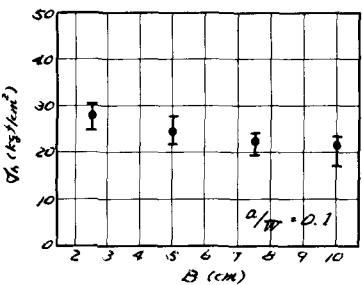


図-2 aとBとの関係

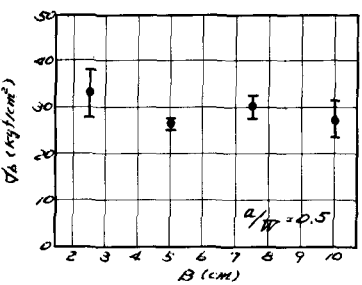


図-3 aとBとの関係

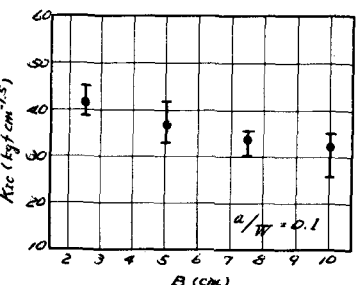


図-4 aとBとの関係

は、切り欠き先端に形成される塑性域の影響によるものであり、適切な降伏強度と用いることにより修正可能であることが知られていい。

(3)き裂開口変位量と供試体幅との関係

図-6～9に $a/W = 0.1$ および 0.5 の場合の Δt とき裂開口変位量(COD)、 $(COD)_{max}$ と供試体幅との関係を示す。図-6、7より、 $a/W = 0.1$ 、 0.5 とともにほぼ同様の傾向を示し、 $B = 5, 7.5, 10\text{ cm}$ はさばの相違はないが、供試体幅が減少するにともない、 $\Delta t - COD$ に対し作用応力が高くなることわかる。また、図-8、9が $(COD)_{max}$ に及ぼす供試体幅への影響を示すが、ほぼ一定の値をとるようである。 $a/W = 0.1$ の場合 $(COD)_{max}$ の平均値は $3.25 \times 10^{-2} (\text{mm})$ 程度の値となり、 $a/W = 0.5$ の場合は $5.03 \times 10^{-2} (\text{mm})$ と $a/W = 0.1$ の場合の約 50% 程度大きな値を示すことわかる。

(4)平面ひずみ状態を満たす供試体幅の推定

一般に K_{IC} 値は板厚(供試体幅)の低下とともに増加することから、じん性評価においては、平面ひずみ状態の破壊じん性値が重要であり、平面ひずみ状態を満たす板厚(供試体幅)の推定が必要である。金属材料においては、応力拡大係数が同じであるならば、塑性域寸法のパラメータ β によれば、板厚が大きければ平面ひずみ状態の分布が多くなることがわかる。したがって、平面ひずみ状態を実現される板厚は、両者の間に比例するパラメータ $\beta = \frac{1}{B} \cdot \left(\frac{K_{IC}}{\sigma_y}\right)^2$ (σ_y :降伏応力) の値が小さければ大きいとされていい。また、降伏応力をもとに平面ひずみ状態の遷移領域は、 $1 < \beta < 2$ とされていい³⁾。本実験においては、 $K_{IC} = 42 \text{ kg/cm}^{3/2}$ 、 $\sigma_y = 20 \text{ kg/cm}^2$ (便宜的に第1降伏応力を採用) として、 $\beta < 1$ の範囲で求めた推定供試体幅は $B > 4.2 \text{ cm}$ であり、図-4, 5 および 8 は適切な値のように思われる。

4. あとがき

じん性評価にあたって断面形状の影響を明らかにするため、モルタルにおける供試体幅の影響に関して、実験したものをまとめたものであるが、決定した K_{IC} 値の決定には、切り欠き先端の塑性域で平面ひずみ状態が実現され、また、小規模降伏状態が満たされ、測定結果が適切な K_{IC} 値を得るために供試体幅をもとに切り欠き深さの関係が明確にされねばならぬが、これまではまだ次報にゆずる。

5. 参考文献

- 1)森田・加藤：コンクリートの破壊じん性と AE 評価に関する基礎的研究、セメント技術年報32、昭和53年、pp. 268～271。
- 2)森田：セメントベーストおよびモルタルの破壊じん性評価に関する基礎的研究、セメント技術年報35、昭和56年、pp. 142～145。
- 3)森田：切り欠きを有するひびの切り欠き先端性状に関する基礎的研究、第37回年次学術講演会概要集V、昭和57年10月、pp. 1～2。
- 4)木原博：破壊力学と材料强度講座、培風館、昭和53年9月。

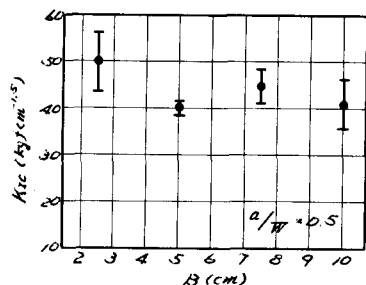


図-5 K_{IC} と B との関係

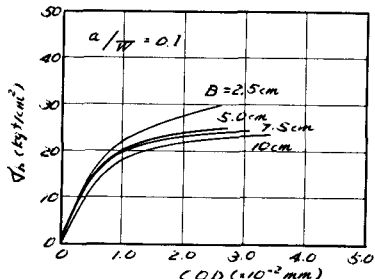


図-6 Δt と COD との関係

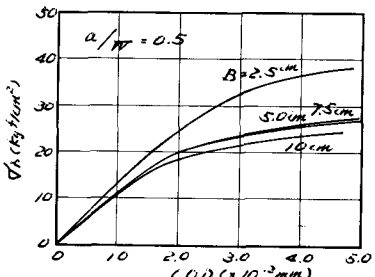


図-7 Δt と COD との関係

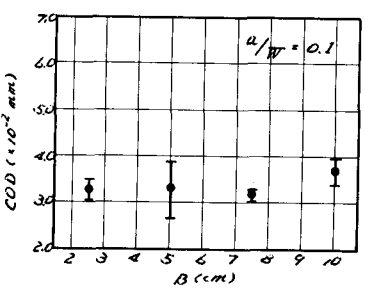


図-8 COD と B との関係

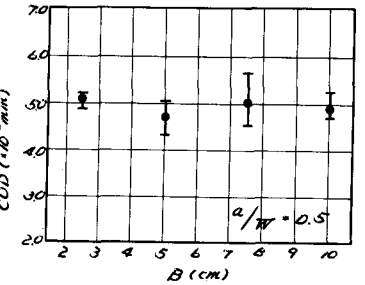


図-9 COD と B との関係